

報 文

화학공학 제6권 제3호  
J. KICHE, Vol. 6, No. 3  
Sept. 1968

## 氣·液·固系 充填 流動層에 關한 基礎的 研究

李 奉 模\*

## On the Gas-Liquid-Solid packed Fluidized Bed

Dept. of Chem. Eng. HanYang Univ.

Bong Mo Lee

### ABSTRACT

Rate equation for oxidation reaction of metal iron on the surface in spiral iron wire packed air-acid solution-iron oxide fluidized bed was obtained. Effects of partial pressure of oxygen on the reaction and of air blowing velocity,  $U_G$  were also discussed.

### 緒 論

氣·液·固系 充填流動層의 反應條件은 그의 特異한 例가 充填物인 鐵을 酸性溶液에 充填하고 空氣를 取入함에 依하여 固相의 酸化鐵을 生成시키는 것이다. 酸素와 鐵에 對한 水中에서의 反應에 對한 研究로는 Linnenbon<sup>1)</sup>의 反應溫度 범위에 따라 生成物의 구조에 差異가 있다고 지적한 것 등이 있으며, 鐵의 酸化에 對하여는 高溫 乾燥狀態의 研究<sup>2), 3)</sup>가 많이 있으나 濕式 操作에 對하여는 速度論的 檢討等이 거의 되어있지 않다.

따라서 筆者는 이러한 系를 氣·液·固系 充填 流動層 이라고 이에 對한 酸化鐵 生成條件의 基礎的 研究 data를 보고한다.

### 實驗方法 및 裝置

使用된 裝置의 略圖는 Fig. 1 과 같다. 直徑이 50mm $\phi$  인 1m의 column에 Fig. 2-(a)와 같은 氣體分散板을 設置하고 圧縮空氣를 그림과 같이 불어 넣었다.

充填物은 鐵線(1.2mm $\phi$ )을 螺旋狀으로 Fig. 2-(b)에 서와 같이 하여 直徑과 길이가 5, 10, 15 및 20mm인

\* 漢陽大 工大 化工科

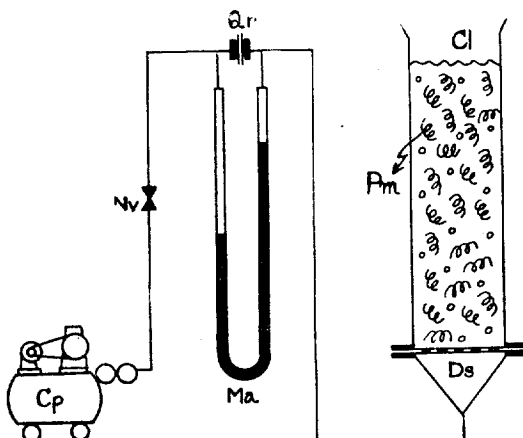


Fig. 1 Experimental Diagram

Cl: Column, Cp: Compressor, Ds: Distributor,  
Ma: Manometer, Nv: Needle Valve, Or: Orifice,  
Pm: Packing Material

것으로 使用하였으며, 使用前에는 반드시 稀黃酸으로 表面을 처리하여 使用하였다.

流體의 정지層高  $L_0$  對 塔의 直徑  $D$  的 比,  $L_0/D$  를  $z, o$  으로 하고 一定 濃度의 酸性( $pH=2.7$ ) 溶液을 넣은 塔에 空氣를 불어 넣으면서 酸化된 酸化鐵의 量은 一定 時間마다 혼탁액 1.0 cc 를 取하여 질산에 溶解한

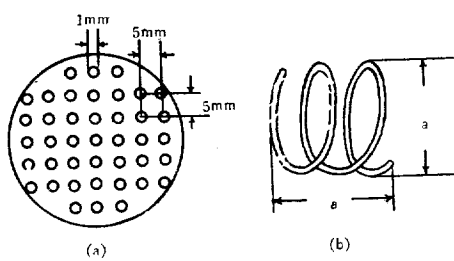


Fig. 2. Distributor (a) and Packing Material (b)

後  $\text{NH}_4\text{CNS}$  の指示薬を用いて  $\text{M}/100 \text{ E.D.T.A}$  に依り滴定하였다. 反応温度は恒温  $10^\circ\text{C}$  を維持하였으며 空氣中酸素の分圧変化は酸素筒の 것을 needle valve に依り調整하였다.

### 理論式의導出

流動層内에서充填物인 鐵表面에는酸性의鹽溶液境膜이 형성되어 있으며液은取入되는空氣로부터酸素를吸收하여 이境膜을通하여드러가 鐵表面에서鐵을酸化시켜二價의鐵을生成하며이는이경막을通하여亂流역으로 확산한다. 이二價鐵이온은 다시 산화되어 고체의酸化鐵을形成한다.

여기서 문제를 단순화하기 위하여 다음을 가정한다.

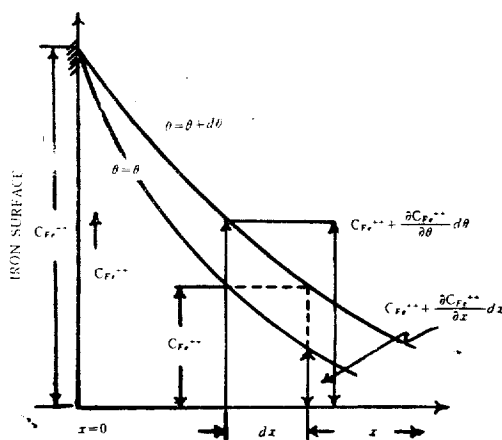


Fig. 3 Diffusion Model of Ferrous Ion

- 液中吸收된酸素은氣相과平衡狀態에 있으며
- 反応으로 인한鐵表面의變化는 무시한다.
- 溫度와液의反應條件이一定하기 때문에鐵表面과 경막사이의二價鐵이온의濃度는一定하다.

따라서鐵線은圓柱狀의 긴螺旋形임으로 그表面에서는二價鐵이온이對稱적으로 확산하므로 다음의 확산方程式이 성립한다. (Fig. 3 참조)

$$\frac{\partial G_{Fe^{++}}}{\partial \theta} = D_{Fe^{++}} \frac{\partial^2 C_{Fe^{++}}}{\partial x^2}$$

初期條件  $\theta=0$  때  $C_{Fe^{++}}=0$   $x>0$

境界條件  $x=0$  에서  $C_{Fe^{++}}=C_{Fe^{++}0}$  =一定

$x=\infty$  에서  $C_{Fe^{++}}=0$

여기서  $x$ 는鐵表面으로부터流體域으로의거리이다.

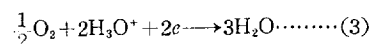
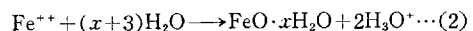
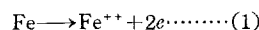
따라서上記初期 및境界條件에對하여積分하면 다음式이 얻어진다.

$$\frac{C_{Fe^{++}}}{C_{Fe^{++}0}} = 1 - \operatorname{erf}\left(\frac{x}{2ND_{Fe^{++}}\theta}\right)$$

任意時間  $\theta$ 에 있어서鐵表面의反應速度는  $x=0$ 에서  $\text{Fe}^{++}$ 이온의擴散速度로表示될 수 있으므로

$$\begin{aligned} \frac{r_{Fe^{+}}}{as} &= -D_{Fe^{++}} \left( \frac{\partial C_{Fe^{++}}}{\partial x} \right)_{x=0} = D_{Fe^{++}} \frac{\partial}{\partial x} \\ &\left[ \frac{2C_{Fe^{++}}}{\sqrt{\pi}} \int_0^x \sqrt{D_{Fe^{++}}\theta} e^{-u^2 du} \right] \\ &= \sqrt{\frac{D_{Fe^{++}}}{\pi\theta}} C_{Fe^{++}0} \end{aligned}$$

즉  $r_{Fe^{+}}/as$ 는  $\theta$ 의  $-0.5$ 乗에比例한다. 또한反應機構는 다음과 같은素反應으로나누워 생각할 수 있다.



따라서反應의速度決定단계는液中에溶解된酸素가鐵金屬으로부터  $\text{Fe}^{++}$ 이온이生成될 때 남겨놓은電子를除去하는 것이다(3式).

따라서反應速度式은 다음과 같이 쓸 수 있다.

$$-\frac{dW_{Fe^{+}}}{d\theta} = k[\text{H}_3\text{O}^+]^\alpha P_{\text{O}_2}^{\frac{1}{2}} \dots\dots\dots (4)$$

따라서酸素分壓의  $1/2$ 次임을 알 수 있다.

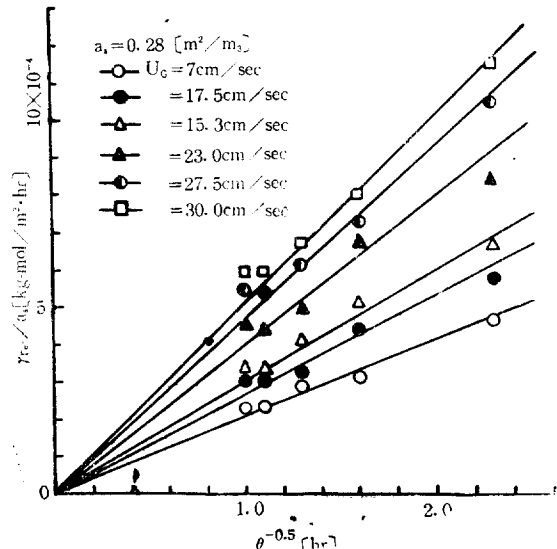


Fig. 4 Reaction Rate vs Reaction Time

## 實驗結果의 考察

### 速度式의 檢討

酸素 分壓이 0.21[atm]인 空氣를 使用하여 一定한 通氣速度에 對하여  $\theta^{-0.5}$  乘에 對하여 鐵의 減少速度  $r_{Fe}/as$  를 plot 한 것이 Fig. 4 이며 初期에 있어서는 速度式이 잘 적용되나 時間이 길어질수록 맞지 않음을 알 수 있다. 이는 初期에는 假定이 成立되나 時間이 길어질수록 濃度差가 一定해지므로 一定한 値을 보인다.

Fig. 5는 酸素의 分壓,  $Po_2^{1/2}$  과 反應速度를 plot 한 것으로 거의 原點을 通하는 直線으로 (4)式이 成立함을 암다.

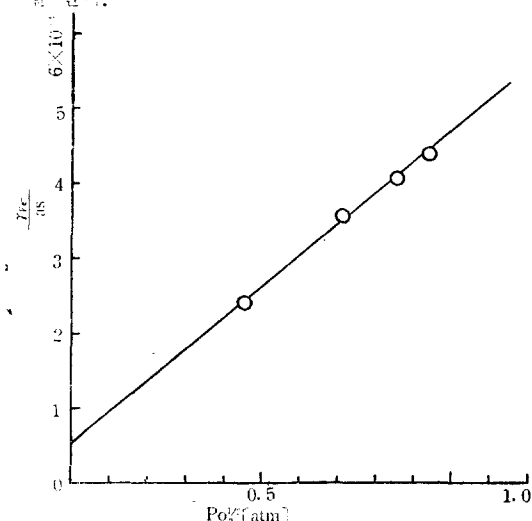


Fig. 5 Order plot on Oxygen.

### 通氣速度의 영향

Fig. 6은 通氣速度  $U_G$  的 變化에 對한 境膜抵抗의 尺度로 反應速度를 plot 한 것으로 주어진  $U_G$  的 범위에 對하여 充填物의 크기에 關係없이  $U_G^{3/2}$ 에 比例함을 알 수 있다.

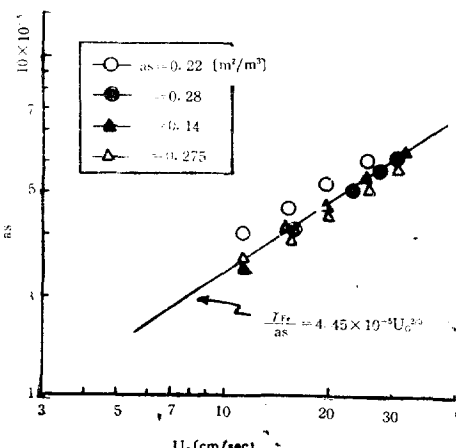


Fig. 6 Effects of Air Blowing on Reaction Rate

즉 通氣量 變化에 따라서 亂流 現象의 增加로 因하여 境膜抵抗이 적어지는데 기인되며 亂流가  $U_G$ 의 變化에 關係없이 一定해지는 點부터 境膜抵抗은  $U_G$ 에 關係없이 一定해지리라고 생각된다.

## 結論

1. 反應速度는 酸素分壓의  $1/2$  次이며 反應時間  $\theta$ 의  $-0.5$  乘에 比例한다.
2. 鐵表面에서의 物質傳達速度는  $6\sim20\text{cm/sec}$ 의 通氣速度의 幕위에서  $U_G$ 의  $3/2$  乘에 比例한다.

## 使用記號

- $a_s$ : 流動層內單位體積當 鐵斗 流體와의 接觸面積  
 $C_{Fe^{++}}$ : 二價鐵이온濃度 [ $\text{kg-mol/m}^3$ ]  
 $C_{Fe^{++}_0}$ : 鐵表面과 流體의 界面에서의 二價鐵이온의濃度 [ $\frac{\text{kg-mol}}{\text{m}^3}$ ]  
 $D_{Fe^{++}}$ : 二價鐵이온의 擴散係數 [ $\text{m}^2/\text{sec}$ ]  
 $Po_2$ : 酸素의 分壓 [atm]  
 $[H_3O^+]$ : 水素이온濃度 [ $\text{kg-mol/m}^3$ ]  
 $r_{Fe^-}$ : 鐵의 減少速度 [ $\text{kg-mol Fe/m}^3\text{hr}$ ]  
 $x$ : 鐵表面으로부터의 거리 [m]  
 $U_G$ : 空塔基準의 通氣線速度 (cm/sec)  
 $\theta$ : 時間(hr)

## 引用文獻

1. V. J. Linnenbon  
J. Electrochem. Soc. 105, 322~4 (1958)
2. V. G. Lyuakovskaya & B. L. Sarycher  
Trudy Gosudarst Nauch-Issledovatel Proekt. Inst. Azot. Pran. 1957 No 8, 259—67
3. V. V. Ipat'ev & V. I. Tikhomirov  
Ser. khim. Nauk No14, 7—20(1954)  
C. A. 4918(1957)